

# 鐵と鋼 第十九年第四號

昭和八年四月二十五日發行

## 論 説

### 炭素並に満倅含有量が壓延鋼材の降伏點 並に衝擊抗力に及ぼす影響

(日本鐵鋼協會 第10回講演大會講演)

城 正 俊 \*

FURTHER INVESTIGATION ON THE INFLUENCE OF CARBON AND MANGANESE UPON THE MECHANICAL TESTING OF STEELS.

by Masatoshi Jo. Kogakushi.

*SYNOPSIS:*— The author deals, in this paper, with the effects of Carbon and manganese on the yielding point and the impact resilience of our basic open-hearth steel as rolled. The results of the present investigation may be summarized as follows.

The effect of manganese on the yielding point of steel increases with the increase of the carbon content, but it is slight, comparing with that on the tensile strength.

The impact resilience of steel under the same amount of carbon decreases with the increase of the manganese content.

So far as the relations between chemical compositions and physical properties of steel are concerned, under the same tensile strength, the low carbon and high manganese steel raises the yielding point, the elongation and the impact resilience of steel.

The relation between chemical composition and yielding point of our basic open-hearth steel as rolled may be expressed by the following empirical formula.

$$Y = 0.15C + 0.0009CMn + 0.11Mn + 19.5$$

Where;

$Y$  = Yielding point in  $kg/mm^2$

$C$  = Carbon content in  $\% \times 100$

$Mn$  = Manganese content in  $\% \times 100$

#### 内 容 目 次

- I 緒 言
- II 調査研究方法
- III 満倅含有量が壓延鋼材の降伏點に及ぼす影響
- IV 炭素及満倅を適當に加減して抗張力を一定にした場合の降伏點の比較
- V 炭素並に満倅含有量と壓延鋼材の降伏點との關係の實驗公式誘導法
- VI 満倅含有量が壓延鋼材の衝擊抗力に及ぼす影響
- VII 鋼の機械的諸性質の相互關係より見たる満倅の効果に就て
- VIII 壓延鋼材の機械的諸性質の相互關係
- IX 結 論

#### I. 緒 言

著者は曩に炭素並に満倅含有量と壓延鋼材の抗張力、延伸率及ブリネル硬度との關係を實際的に調査し以つて一般の参考に供したが、近時鋼材に對する各種規格の中或種のものに就ては抗張力及延伸率の規定の外更に鋼材の降伏點(Yielding point)の規定ある事實に鑑み、今回更に炭素並に満倅含有量が壓延鋼材の降伏點に及ぼす影響を調査し、尙参考として兩成分の衝擊抗力の上に及ぼす影響をも併せ攻究し以つて實地作業上の参考に資せしむると共に此種鋼材に對する規格を吟味する上の一助たらしめんとした。就中最近時超高張力鋼(Super High Tensile Steel)或は Medium Manganese Steel 等の如き比較的高満倅の普通鋼材が漸く擡頭使用せられんとする情勢に在るとき、壓延鋼材中の満倅含有量がその降伏點並に衝擊抗力の上に如何なる影響を與えるものであるかを實際的に調査研

究して置くことは有意義でもあり且つ又興味ある問題であらう。

## II. 調査研究方法

本研究は最近數ヶ年間吾が鹽基性平爐に於て製鋼し壓延せられたる各種鋼材の中、8,000 餘 charge に就き一々その分析成分と機械試験成績とを調査し之れに就き鋼中に於ける満倅含有量が壓延鋼材の降伏點並に衝撃抗力の上に及ぼす影響を統計的に調査せるものである。而して其の調査方法は曩の「炭素並に満倅の壓延鋼材に及ぼす材質的影響」と全く同一方法に依つたものである。

## III. 満倅含有量が壓延鋼材の降伏點に及ぼす影響

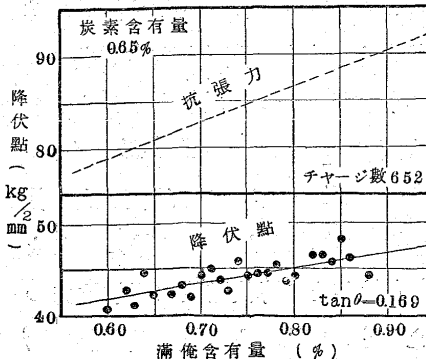
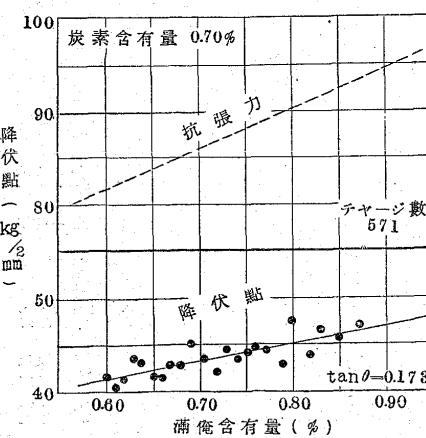
炭素含有量 0.20%~0.70% の範囲に於て先づ炭素含有量の相等しいものを集め、之れに就き満倅含有量と降伏點との関係を求むれば附表のやうになる。而して各炭素含有量毎に示せる上位の點線は抗張力を示し下位の實線は降伏點を示す。又各炭素量毎に示せる charge 敷はその炭素量に對する調査 charge 敷であつて尙一定炭素量のもので

も満倅含有量の相等しいものが多數 charge に上つたが之等は何れも降伏點の平均値を出し其の成分のものを代表せしめた。從つて表中示す ●印 1 個は少くとも 5~50 charge の平均値である。

諸て附表を見るに各炭素含有量に於ける満倅含有量と抗張力並に降伏點との關係は兩者何れも満倅含有量の増加するに連れて其の値も亦漸次増加してゐるが、降伏點の増加は抗張力の増加に比し其の程度緩慢なることを知る。今最小自乗法に依つて各炭素含有量毎に満倅含有量と降伏點との關係を示す平均値線を求むれば何れも附表の如き右上りの直線となる。即ち各炭素量毎に示せる  $\tan\theta$  の値は此の傾斜度であつて此の  $\tan\theta$  の値は要するに満倅 0.01% 每に増加する降伏點に外ならない。例へば炭素含有量 0.55% の時に於ける  $\tan\theta$  の値は 0.16 であるから炭素 0.55% のものにあつては満倅 0.01% を増加する毎に降伏點に於て  $0.16 \text{ kg/mm}^2$  を増加することを意味してゐる。

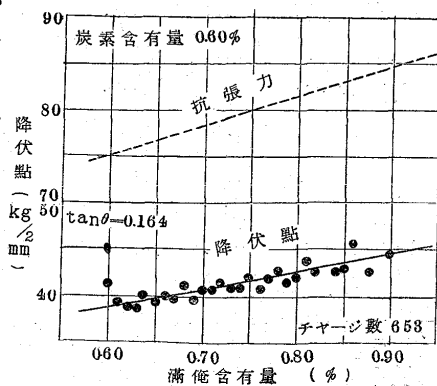
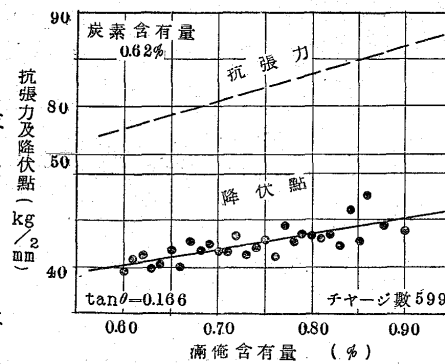
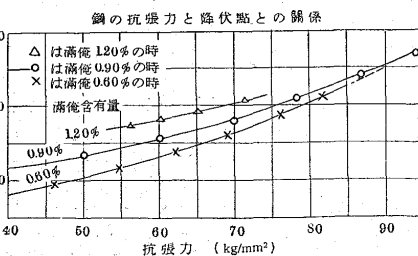
次に炭素含有量 0.20%~0.70% の範囲に於て  $\tan\theta$  の値（満倅 0.01% 每に増加する降伏點）の變化を求むれば第 1 表の如く炭素含有量の低いものより高いもの程  $\tan\theta$  の値は漸次増加してゐることを知る。

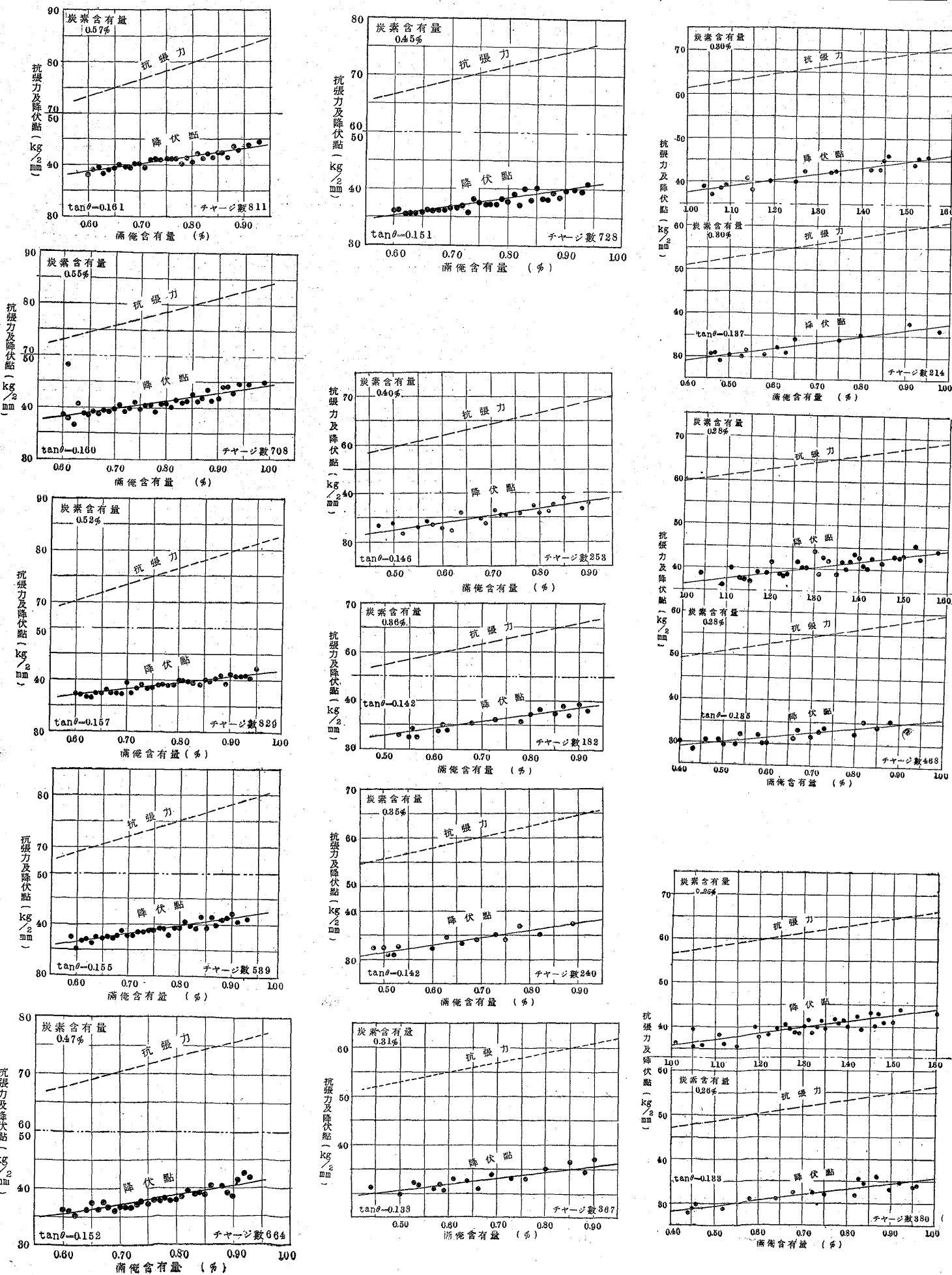
附表 満倅含有量が抗張力及降伏點に及ぼす影響

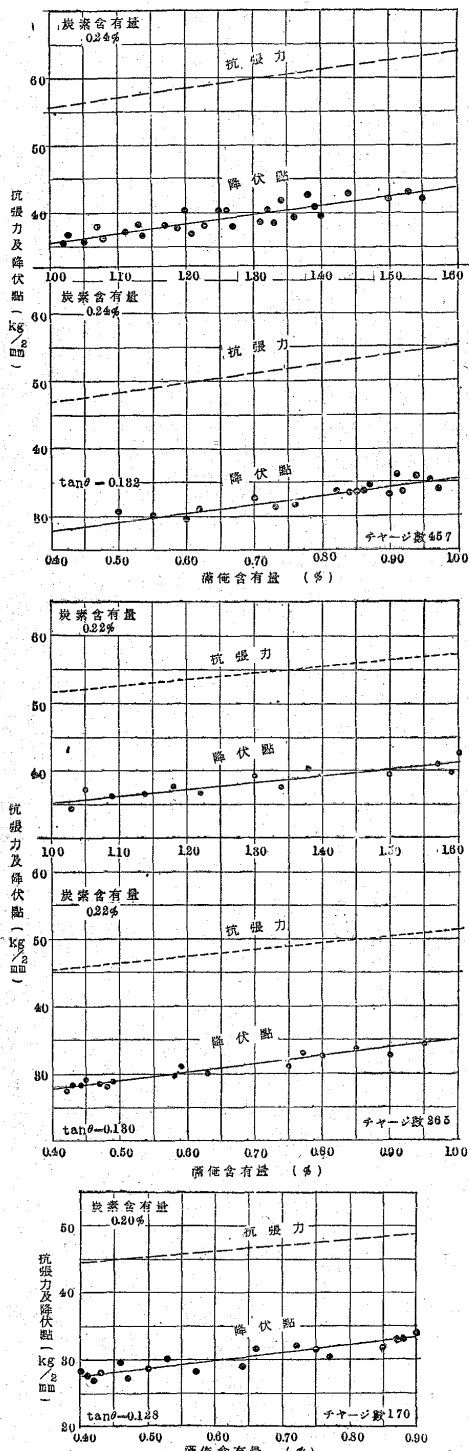


### 調査方法

- 分析は凡て製鋼分析に依る、但し必要に應じ試験片の一端を分析したるものあり。
- 表中 ●印は試験片 5~50 個の平均を示す。
- 各炭素量毎に示せる、チャージ数は其の炭素量に對する調査チャージ数を示す。
- 表中  $\tan\theta$  の値は  $Mn, 0.01\%$  増加に依る降伏點の增加値を示せるものなり。
- 降伏點增加状況を示せる平均線は何れも最少自乗法に依り求めたるものなり。





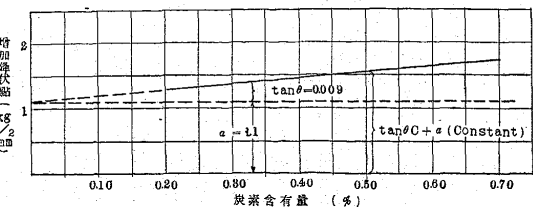


第1表 各炭素量に對する満倅含有量が鋼の降伏點に及ぼす影響

炭素含有量	附表に示す満倅 0.10% 每に增加する降伏點 $\tan\theta$		炭素含有量	附表に示す満倅 0.10% 每に增加する降伏點 $\tan\theta$	
	の値	の値		の値	の値
0.20	0.128	1.28	0.50	0.155	1.55
0.25	0.133	1.33	0.55	0.160	1.60
0.30	0.137	1.37	0.60	0.164	1.64
0.35	0.142	1.42	0.65	0.169	1.69
0.40	0.146	1.46	0.70	0.173	1.73
0.45	0.151	1.51			

第1圖は各炭素量に對し満倅 0.10% を増加せしむるとき增加する降伏點を示せるものであつて縦軸は増加する

第1圖 各炭素含有量に對し満倅 0.10% 每を増加するとき增加する降伏點



降伏點を示す。圖に見るが如く增加降伏點と炭素含有量との關係は極めて規則的なる直線で示され然も增加降伏點は炭素含有量に對し一定の比を以つて増加してゐる。

今此の値と満倅 0.10% 每に増加する抗張力の値<sup>1)</sup>とを比較して見ると第2圖の如く兩者夫々炭素含有量に對し相異なる比を以つて増加して居り、抗張力の増加割合は降伏點の夫れに比し大であつて炭素含有量の増加と共に直線的に益々増加してゐる。然して炭素含有量 0.20% ではその増加値は兩者互に相等しく炭素 0.20% 以下に於ては兩線の延長より推定して抗張力の増加値よりも降伏點の増加値の方が大となつてゐる。即ち此等の事實は満倅の添加に依つて鋼の抗張力

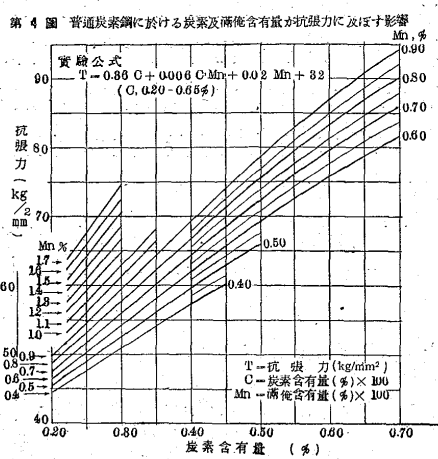
及降伏點を増加せしめ然も 降伏點：抗張力 の比を増大せしめんとする場合には低炭素のものに満倅を添加する方が其の效果顯著なることを意味してゐる。第2表は即ち此の間の消息を證してゐる。

第2表 満倅 0.10% が鋼の抗張力及降伏點の上に及ぼす影響

炭素含有量 %	満倅 0.10% 每に增加する抗張力 $kg/mm^2$	満倅 0.10% 每に增加する降伏點 $kg/mm^2$	增加降伏點 增加抗張力
0.15	0.9	1.24	1.38
0.20	1.2	1.28	1.07
0.25	1.5	1.33	0.89
0.30	1.8	1.37	0.76
0.35	2.1	1.42	0.68
0.40	2.4	1.46	0.61
0.45	2.7	1.51	0.56
0.50	3.0	1.55	0.52
0.55	3.3	1.60	0.49
0.60	3.6	1.64	0.46
0.65	3.9	1.69	0.43
0.70	4.2	1.73	0.41

<sup>1)</sup> 著者、鐵と鋼、18年、No. 11.

第3圖は炭素及満倅含有量と鋼の降伏點との関係を示せるものであつて附表を1表に纏めたものである。圖に見るが如く満倅を一定にした場合の降伏點は炭素含有量の増加するに連れて漸次増加してゐるが其の増加状況は抗張力の場合に比較して(第4圖参照)極めて緩慢である。又一定炭素含有量の下に於ては満倅含有量の異なるに従つて其の降伏點に相違を來し然も其の相違程度は炭素含有量の多くなるに連れて増加してゐるが其の増加割合も亦抗張力の場合より輕少である。



#### IV. 炭素及満倅含有量を適當に加減して抗張力を一定にしたる場合の降伏點の比較

第4圖は炭素及満倅含有量と鋼の抗張力との關係圖である<sup>2)</sup>。今此の第4圖と第3圖とを比較對照して抗張力を一定にしたる場合の降伏點を考へて見やう。

第4圖に見るが如く炭素0.67%、満倅0.60%のときと炭素0.51% 満倅0.90%のときは兩者共に其の抗張力は80kg/mm<sup>2</sup>なるに對し、降伏點は第3圖に依り前者は40.7kg/mm<sup>2</sup>、後者は42.0kg/mm<sup>2</sup>であり此の間1.3kg/mm<sup>2</sup>を示してゐる。又炭素0.37%、満倅0.60%のときと炭素0.30% 満倅0.90%のときは共に60kg/mm<sup>2</sup>の抗張力を呈してゐるがその降伏點は夫々33.0kg/mm<sup>2</sup>及35.7kg/mm<sup>2</sup>であり其の差2.7kg/mm<sup>2</sup>の相違を來してゐる。

之れに依つて見るに一定の抗張力を出さんとする場合には高炭素低満倅よりも低炭素高満倅の方が降伏點に於て優る結果を招來し得ることとなる。殊に炭素含有量0.20%~0.30%の範圍のものに比較的多量の満倅を入れて其の抗張力を増加せしむるときは、第2圖に依つて知るが如く其の降伏點も略々抗張力と同じ割合に増加し從つて 降伏點：抗張力 の比を高め得ることとなる。然も炭素含有量0.30%以下の範囲内のものに在つては抗張力及降伏點

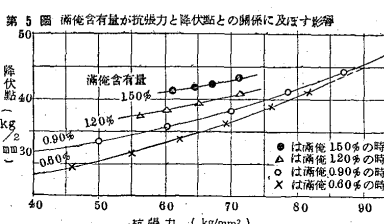
の増加する割合に其の靱性は減じない筈<sup>3)</sup>であつて所謂靱りさを減ぜずして強さを増すこととなり極めて有利な結果を招來し得ることとなる。蓋し超高張力鋼(Super High Tensile Steel) Pearlitic Manganese Steel,<sup>4)</sup> Medium Manganese Steel 等が軟鋼程度の比較的低炭素量のものに1.50%~2.00%の範囲の満倅を含有することに依りその抗張力及降伏點高きに不拘靱性を失は無い優秀なる鋼材として擡頭使用せられんとする情勢に在ることも實は之の點を狙つてゐるところである。

第3表は第3圖及第5圖より得たる値であつて同一抗張

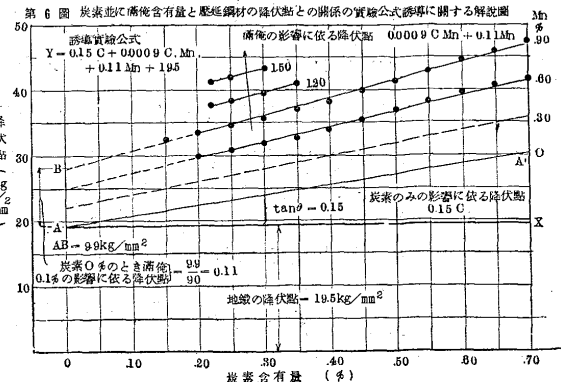
第3表 炭素及満倅含有量を加減して抗張力を一定にしたる場合の降伏點及 降伏點：抗張力 の比の比較

炭素含有量 有 %	満倅含有量 有 %	抗張力 kg/mm <sup>2</sup>	降伏點 kg/mm <sup>2</sup>	降伏點 抗張力
0.67	0.60	80.0	40.7	0.509
0.61	0.70	80.0	41.4	0.518
0.56	0.80	80.0	41.8	0.523
0.52	0.90	80.0	42.0	0.525
0.51	0.60	70.0	36.8	0.526
0.47	0.70	70.0	37.3	0.533
0.43	0.80	70.0	37.7	0.539
0.40	0.90	70.0	38.0	0.543
0.34	1.20	70.0	40.5	0.579
0.29	1.50	70.0	43.1	0.616
0.27	1.70	70.0	45.2	0.646
0.45	0.40	60.0	32.0	0.533
0.40	0.50	60.0	32.3	0.538
0.37	0.60	60.0	33.0	0.550
0.34	0.70	60.0	34.0	0.567
0.32	0.80	60.0	35.0	0.584
0.30	0.90	60.0	35.7	0.595
0.27	1.10	60.0	37.3	0.622
0.25	1.20	60.0	38.3	0.638
0.22	1.45	60.0	40.5	0.675
0.29	0.40	50.0	28.0	0.560
0.27	0.50	50.0	29.5	0.590
0.23	0.70	50.0	31.8	0.636
0.20	0.90	50.0	33.4	0.668

備考 表中の數値は第3圖及第4圖より求めたものである。



力の下に於ては、高炭素低満倅よりも低炭素高満倅の方が降伏點の高いことを示すと共に



3) 著者、鐵と鋼、18年 No. 11.

4) Blast Fur, and Steel. 1930. May, 802, Sept, 1463.

降伏點：抗張力の比に及ぼす満倅の影響は低炭素のもの程大なることを示してゐる。

即ち普通炭素鋼に在りては抗張力の相等しいものでも鋼材の含有する満倅含有量の如何に依つてその降伏點に相違を生ずるところであるから此種鋼材の降伏點を窺知せんとする場合には鋼材の分析成分に基き此れを吟味することが妥當であると思はれる。

第5圖は普通炭素鋼に於ける満倅含有量が抗張力と降伏點との關係に及ぼす影響を示せるものであつて同一抗張力の下に於ても満倅含有量に依つてその降伏點に相違を來し然も其の相違程度は抗張力の高いときより低いときに於て甚しいことが判る。

## V. 炭素並に満倅含有量と壓延鋼材の降伏點との關係の實驗公式誘導法

第3圖を見るに各炭素量に對し満倅を一定にした場合の降伏點は炭素含有量の增加するに連れて次第に増加し其の増加状況は圖の如き微かな曲線を呈して居るが炭素含有量 0.20%~0.70% の範圍に於ては先づ大體に於て直線的に増加してゐるものと見做し得る。第6圖は炭素並に満倅含有量と壓延鋼材の降伏點との關係を求めるとする實驗公式誘導に關する解説圖である。圖中●印は第3圖の値であつて之れを一定満倅量毎に結ぶと大體に於て何れも直線上に落ちる、而して満倅 0.60%, 0.90%, 1.20%, 1.50% の四直線の間隔は各炭素量に對する満倅 0.10% 每を増加せしむるとき増加する降伏點の値の 3 倍の數値である。

今満倅 0.60% の線から第1圖に示すところの満倅 0.10% 每に増加する降伏點の値の 3 倍の値を以つて満倅 0.30% づゝ遞減して行くときは點線に依つて示すが如く降伏點は漸次低下しつゝ満倅零% に到つて直線 AA' が得られる。此の AA' は即ち満倅零% のときに於ける各炭素量に對する降伏點を表してゐると見做し得る、而して直線 AA' は AX (炭素含有量) に對し一定の比を以つてゐるから鋼が満倅を含まないとき單に炭素のみの影響に依る降伏點の増加は  $\tan\theta \times C$  (炭素含有量) になる、而して  $\tan\theta$  の値は第6圖に依り 0.15 となるから

$$\text{満倅を含まないとき炭素のみの影響に依る降伏點 } kg/mm^2 = 0.15C \quad \dots \dots (1)$$

$$C = \text{炭素含有量} (\%) \times 100$$

に依り表はすことが出来る、即ち此のことは満倅零% のときに於て炭素 0.10% 每に鋼の降伏點  $1.5 kg/mm^2$  を増加す

ることを意味してゐる。

次に第6圖に示すところの満倅を一定にした場合の降伏點を示す直線 (満倅 1.50%, 1.20%, 0.90%, 0.60% ……の直線) は満倅の影響を表はしてゐる。而して圖に見るが如く一定満倅量の下に於ける降伏點は炭素含有量の増加するに連れて直線的に増加して居り、又一定炭素量の下に在りては満倅含有量に依つて相違を來してゐる、而して第1圖に依つて知るが如く

$$\text{各炭素量に對し満倅 } 0.10\% \text{ 每を增加} \} = \tan\theta C + \text{せしむることに依り増加する降伏點} \} \text{ (Constant)}$$

$$C = \text{炭素含有量}$$

となり同圖より  $\tan\theta = 0.009 \quad \alpha = 1.1$  となるから

$$\text{鋼中に於ける満倅分にて影響} \} = (0.009C + 1.1) \times$$

$$Mn \text{ Content} = 0.0009 CMn + 0.11Mn \quad \dots \dots (2)$$

$C = \text{炭素含有量} (\%) \times 100 \quad Mn = \text{満倅含有量} (\%) \times 100$  に依り表はすことが出来る。

尚炭素含有量が零になつた場合を第6圖に依りて考えて見るに上下二線の延長より推定して結局圖中 A B の値は即ち 0.90% の満倅が鋼の降伏點に及ぼす影響を表はしてゐる。而して此の數値は圖に依り  $9.9 kg/mm^2$  となるから満倅 0.10% に對しては  $1.1 kg/mm^2$  となり之の値は(2)式の定數 (Constant) と同一値である。

次に第6圖に依り容易に推定し得べきは

$$\text{地鐵の降伏點} = 19.5 kg/mm^2 \quad \dots \dots \dots \dots \dots \dots (3)$$

である、圖中 A X は即ち地鐵の降伏點と見做し得るところであつて此の値は各炭素量に對し一定の常數で示され  $19.5 kg/mm^2$  を呈してゐる<sup>5)</sup>。

依つて上記(1)(2)(3)式より結局炭素及満倅の鋼に及ぼす降伏點の變化は

$$Y = 0.15C + 0.0009 CMn + 0.11Mn + 19.5$$

$$\text{但し } Y = \text{鋼の降伏點 } kg/mm^2$$

$C = \text{炭素含有量} (\%) \times 100 \quad Mn = \text{満倅含有量} (\%) \times 100$  に依り言ひ表はすことが出来る。尚之の式の適用範囲は炭

<sup>5)</sup> Pure Iron の降伏點に就ては未だ文献に見えざるも本所に於て次の如き分析成分のものゝ試験成績がある。

$C$	$Mn$	$Si$	降伏點	$C$	$Mn$	$Si$	降伏點
%	%	%	kg/mm <sup>2</sup>	%	%	%	kg/mm <sup>2</sup>
0.04	0.20	0.012	21.2	0.05	0.14	0.014	21.4
0.04	0.20	0.012	21.5	0.05	0.14	0.014	20.8
Mean. 0.04	0.20	0.012	21.4	0.05	0.17	0.013	20.8
				0.05	0.17	0.013	21.1
				Mean.	0.05	0.15	0.014
							21.0

之れに依りて見れば地鐵の降伏點に就ては差したる誤差なきものの様である。

素含有量 0.20%~0.70% の範囲のもので壓延其の儘の熱處理を施さない鹽基性平爐鋼材である。

## VI. 満倅含有量が壓延鋼材の衝擊抗力に及ぼす影響

鋼中の炭素及満倅が壓延鋼材の靜的試験の上に及ぼす影響に就ては既に上述せるところであるが以下此の兩成分就中満倅含有量が壓延鋼材の動的試験(dynamic test)即ち衝擊抗力の上に如何なる影響を與えるものであるかを攻究して見やう。

(イ) 調査範囲； 炭素含有量 0.20%~0.70%、満倅含有量 0.35%~0.90% の壓延其の儘の鹽基性平爐鋼材に就き調査した。

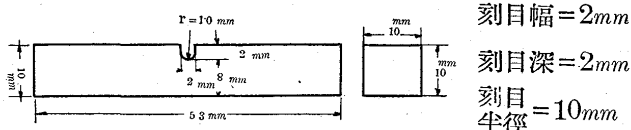
(ロ) 試料の分析成分； 衝擊試験片の分析成分は製鋼分析に依ることを原則とせしが必要に應じ試験片の一端を分析したものもある。全試験片を通じ燐及硫黄 0.03% 内外、硅素 0.20% 以下のもののみである。

(ハ) 試験片採取位置並に使用試験機； 衝擊試験片は抗張試験片の一端より採取し試験片採取方向は壓延方向に平行である。

試験機； Charpy 式 25kg.m 衝擊試験機

打撃速度； 4.7m (秒速)

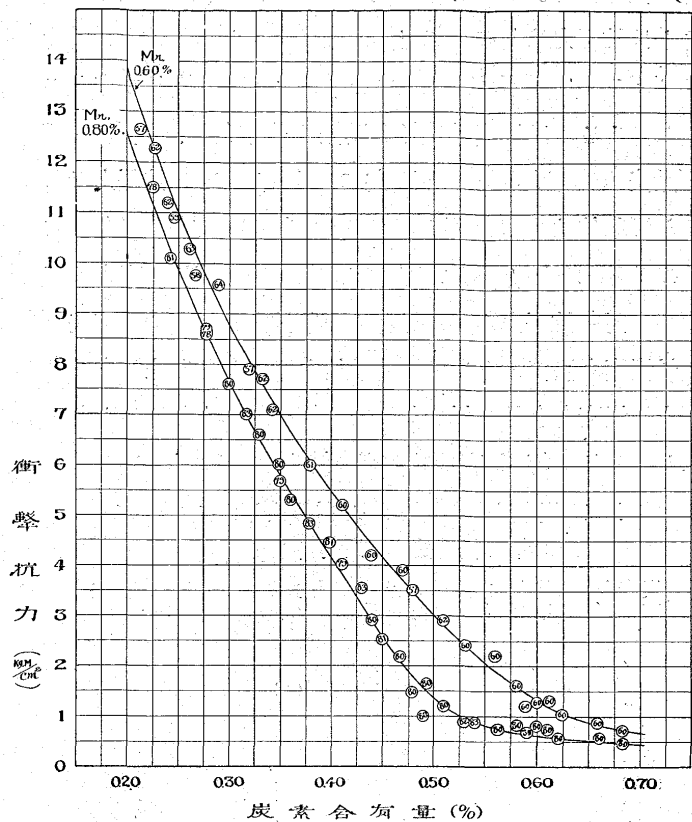
試験片の形狀； Mesnager's 型  $10mm \times 10mm \times 53mm$



凡そ普通炭素鋼に於て炭素含有量の増加と共に鋼の抗張力は増加するが衝擊抗力は反対に減少して行くことは一般周知の事實である。而して同一炭素含有量のものでも満倅含有量の異なるに従ひ其の抗張力に相違を生ずるものであることは既に述べたるところである。

而して著者は炭素含有量 0.20%~0.70% の範囲に於て満倅含有量 0.60% のものと 0.80% のものとの衝擊試験成績を集め之れに就き炭素含有量と衝擊抗力との關係を調査したのである。第 7 圖は即ち此の調査成績であつて、圖中○印中の數字は各炭素量の下に於ける満倅含有量であつて之れを一定満倅量毎に結ぶと圖の如き上下二つの線が得られる。即ち上線は各炭素含有量に對する満倅 0.60% のときの衝擊抗力線であり、下線は満倅 0.80% の衝擊抗

第 7 圖 満倅並に満倅含有量が鋼の衝擊抗力に及ぼす影響



力線である。而して上下二線の間隔は 0.20% の満倅が衝擊抗力の上に及ぼす影響を表はして居り尙其の間隔は炭素含有量 0.50% 附近に於て最大であり炭素 0.65% 以上に於て最小の値を示してゐることを見逃がされない。

儲て第 7 圖を見るに各炭素含有量の下に於ける衝擊抗力は満倅 0.60% のときより 0.80% のときに於て減少してゐる。即ち之の事實は同一炭素含有量のものでも満倅含有量の低いときよりも高いときに於て鋼の衝擊抗力を減ずることを意味し尙其の減少程度を第 7 圖に就いて見るに満倅 0.60~0.80% の範囲内では、炭素 0.50% 附近に於て最も著しく、炭素 0.60% 以上に於て極小の値を示して

A 圖 満倅 0.60% のときと 0.80% のときにおける各炭素量に対する衝擊抗力減少状況  
A graph showing the reduction of Charpy impact strength when manganese content changes from 0.60% to 0.80% at various carbon contents. The Y-axis is Impact Strength (kg.m/cm²) from 0 to 8. The X-axis is Carbon Content (%) from 0.20 to 0.70. The curve shows a peak around 0.50% carbon.

ゐる。A 圖は第 7 圖から得た値であつて各炭素含有量に對する減少衝擊抗力を示してゐる。  
次に炭素及満倅を適當に加減して抗張力を一定にしたる場合の衝擊抗力を第 4 圖及第 7 圖に依つて考えて見るに、炭素 0.60% 滿倅 0.60% のときと、炭素 0.55% 滿倅 0.80% のときとは兩者共に其の抗張力は  $80kg/mm^2$  であり、又其の衝擊抗力を第 7 圖に就て求むれば何れも  $0.8 kg.m/cm^2$  であつて兩者互に同一値である。然るに炭素 0.51

%満倅 0.60% のときと、炭素 0.44% 満倅 0.80% のときは抗張力は共に  $69 kg/mm^2$  なるに對し衝擊抗力は前者は  $2.8 kg.m/cm^2$  後者は  $3.0 kg.m/cm^2$  であり後者の方が増加してゐる。又炭素 0.31% 満倅 0.60% と、炭素 0.27% 満倅 0.80% のときは共に  $55 kg/mm^2$  の抗張力であるが衝擊値は夫々  $8.5 kg.m/cm^2$  及  $9.1 kg.m/cm^2$  であつて其の差  $0.6 kg.m/cm^2$  に及んでゐる。即ち此等の事實は要するに同一抗張力の下に於ける衝擊抗力は高炭素低満倅より低炭素高満倅のときに於て増加することを意味し尙此の傾向は炭素含有量の低くなる程次第に著しくなることを表はしてゐる。第 4 表は此の間の消息を證してゐる。

第 4 表 炭素及満倅を加減して抗張力を一定にしたる場合の衝擊抗力の比較

炭素含有量%	満倅含有量%	抗張力 $kg/mm^2$	衝擊抗力 $kg.m/cm^2$	衝擊値の差 $kg.m/cm^2$
0.70	0.60	81.3	0.4	
0.57	0.80	81.3	0.4	0
0.60	0.60	80.0	0.8	
0.55	0.80	80.0	0.8	0
0.51	0.60	69.0	2.8	
0.44	0.80	69.0	3.0	0.2
0.38	0.60	60.0	6.2	
0.32	0.80	60.0	6.7	0.5
0.31	0.60	55.0	8.5	
0.27	0.80	55.0	9.1	0.6

備考 上記の數値は第 4 圖及第 7 圖より得たものである。

## VII. 鋼の機械的諸性質の相互關係より

### 見たる満倅の効果に就て

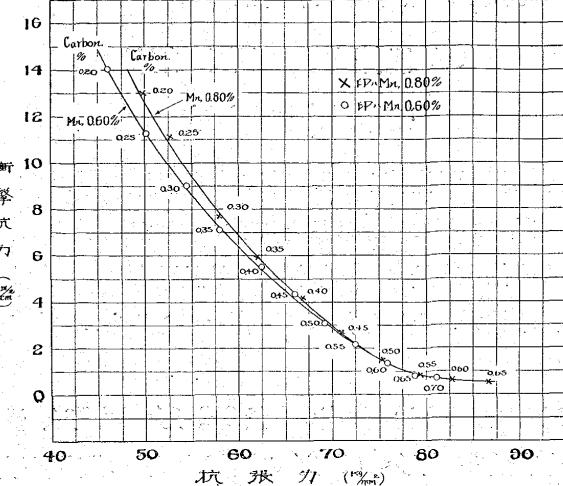
鋼中に於ける炭素並に満倅が鋼の靜的試験並に動的試験の上に及ぼす影響に就ては既に上述せるところであるが以上述べたるところを總括して鋼の機械的諸性質に於ける相互關係の上に及ぼす満倅の影響を考察して見やう。

B 圖は壓延鋼材の抗張力と降伏點との關係圖であつて同一抗張力の下に於ても満倅含有量に依つて降伏點に相違を來し、其の相違程度は抗張力の高いときより低いときに於て甚しいことは既に述べたるところである。

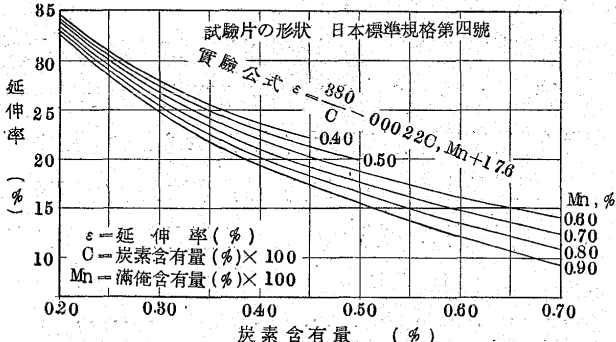
第 8 圖は壓延鋼材の抗張力と衝擊抗力との關係を示せるもので第 4 圖及第 7 圖に基いたものである。之れを見るに抗張力約  $70 kg/mm^2$  以下に於ては兩者の關係は満倅含有量に依つて相違を來し同一抗張力のものでも低満倅よりも高満倅の方が衝擊値大となり然も之の傾向は抗張力の低くなる程益々著しくなることが窺はれる。

第 10 圖は壓延鋼材の抗張力と延伸率との關係を第 4 圖及第 9 圖に依り求めたるものであつて抗張力約  $80 kg/mm^2$  以下に於ては同一抗張力のものでも満倅含有量の低いもの

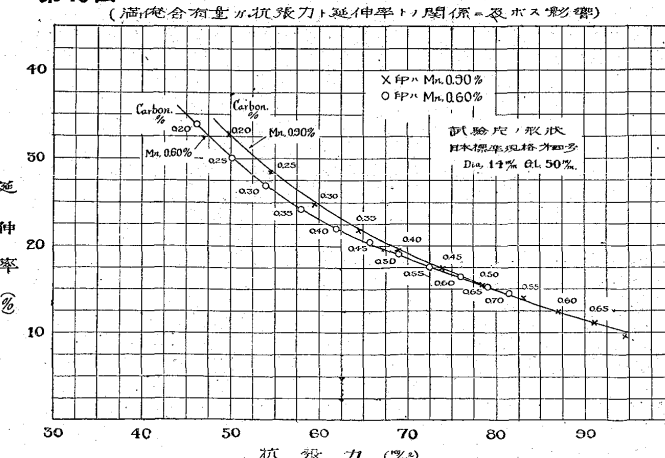
第 8 圖 鋼の抗張力と衝擊抗力との關係  
(満倅含有量が抗張力と衝擊抗力との關係に及ぼす影響)



第 9 圖 普通炭素鋼に於ける炭素及満倅含有量と延伸率との關係



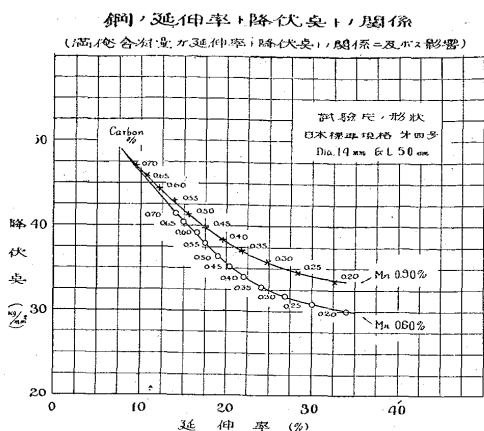
第 10 圖 普通炭素鋼の抗張力と延伸率との關係  
(満倅含有量が抗張力と延伸率との關係に及ぼす影響)



より高いもの程延性に富んでゐることが判り、尙ほの傾向は抗張力の低くなるに連れ益々著しく之の現象は恰も抗張力と降伏點、及び抗張力と衝擊抗力との關係(B 圖及第 8 圖参照)に類似してゐる。

C 圖は伸延率と降伏點との關係圖であつて延伸率約 10 %以上に於ては同一延伸率のものでも満倅含有量の高いもの程降伏點が高く然も其の程度は延伸率の大なるに従ひ益々著しくなつてゐる。

## C 圖



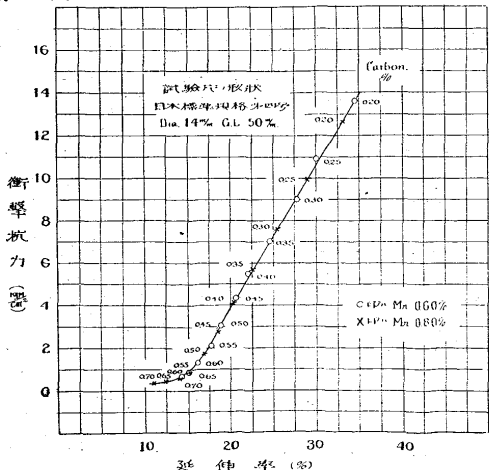
を添加して其の抗張力を高むることが有利でもあり且つ其の効果も著しくなるものである。蓋し低炭素のものに比較的多量の満倅を加えることに依つて鋼の抗張力を高むるときは、その増加割合に比し降伏點は益々高くなり他方延性並に衝撃抗力の低下は比較的少く所謂軟りさを減せずして強さを増すの結果を招來し得ることは既に述べたる通りである。

## VIII. 壓延鋼材の機械的諸性質の相互關係

鋼の抗張力と延伸率、抗張力と降伏點、抗張力と衝撃抗力及延伸率と降伏點との諸關係に就ては上述の如く満倅含有量の異なるに従つて相互の關係に一定の變化を生ずるものである。

然るに第 7 圖及第 9 圖に依り延伸率と衝撲抗力との關係を求むれ

第11圖 鋼の延伸率と衝撲抗力の関係



ば第 11 圖の如し。即ち兩者の關係は満倅含有量の如何に關せず完全に一致し圖の如く表はすことが出来る。圖中○印は各

故に若し  
製鋼作業上  
の難易を考  
慮せず唯單  
に鋼の機械  
的諸性質の  
相互關係か  
ら見れば、  
低炭素のも  
のに比較的  
多量の満倅

炭素量に對する満倅 0.60%、×印は 0.80% の値であつて  
兩者何れも完全に同線上に落ちてゐる。

此れに依りて見るに普通の壓延鋼材に於ける衝撲抗力を單に靜的試験の結果から推察せんとする場合に在りては抗張力に基礎を置くよりも、延伸率に基き第 11 圖に依つて之れを導き出すことが適切でもあり且つ其の結果に比較的正確を期し得ることとなる。

## IX. 結論

以上を總括するに鋼中に於ける満倅が壓延鋼材の靜的試験並に動的試験の上に及ぼす影響は相當大である。故に壓延鋼材の機械的諸性質を吟味する場合には必ず満倅の影響を考慮するの要がある。尚満倅の添加に依つて抗張力及降伏點を高め、他方韌性を保持せしめんがためには比較的低炭素のものに稍々多量の満倅を添加することが有利である。而して本文を次の如く結ぶ。

(イ) 鋼の降伏點に及ぼす満倅の影響は炭素含有量の増加するに連れて増加するが其の増加割合は抗張力の夫れに比し緩慢である。

(ロ) 普通炭素鋼に満倅を添加して、降伏點：抗張力の比を高めんとする場合には高炭素のものより低炭素のものに於て有利である。

(ハ) 同一抗張力の下に於ては高炭素低満倅よりも低炭素高満倅の方が降伏點、延伸率及衝撲抗力が増大する。

(ニ) 壓延鋼材の機械的諸性質に於ける相互關係は、満倅含有量の相違に依り變化を生ずるが、延伸率と衝撲抗力との關係は一定の關係線で示される。従つて鋼の靜的試験の結果からその衝撲値を誘導せんとする場合には延伸率に依ることが適切である。

(ホ) 炭素及満倅含有量と壓延鋼材の降伏點との間には比較的簡単なる實驗式が成立する。以上。